

## РАЗЛОЖЕНИЕ ГИНЗБУРГА–ЛАНДАУ И НАКЛОН ВЕРХНЕГО КРИТИЧЕСКОГО ПОЛЯ В СВЕРХПРОВОДНИКАХ С АНИЗОТРОПНЫМ РАССЕЯНИЕМ НА НОРМАЛЬНЫХ ПРИМЕСЯХ

А. И. Посаженикова, М. В. Садовский\*

Институт электрофизики Уральского отделения Российской академии наук  
620049, Екатеринбург, Россия

Поступила в редакцию 16 мая 1997 г.

Построено разложение Гинзбурга–Ландау для сверхпроводников с анизотропным  $s$ - и  $d$ -спариванием при наличии анизотропии рассеяния на нормальных примесях, повышающей устойчивость  $d$ -спаривания к разупорядочению. Показано, что наклон кривой верхнего критического поля  $|dH_{c2}/dT|_{T_c}$  в сверхпроводниках с  $d$ -спариванием ведет себя нелинейным образом с ростом беспорядка — при малой анизотропии рассеяния он быстро убывает с ростом концентрации примесей, но по мере ее роста он начинает нелинейно возрастать, достигает максимума, а потом снова быстро уменьшается, обращаясь в нуль при критической концентрации примесей. В сверхпроводниках с анизотропным  $s$ -спариванием  $|dH_{c2}/dT|_{T_c}$  всегда растет, выходя на известную асимптотику, характерную для изотропного случая, независимо от наличия анизотропии рассеяния на примесях.

### 1. ВВЕДЕНИЕ

Определение типа куперовского спаривания продолжает оставаться в центре внимания исследователей высокотемпературной сверхпроводимости. Большинство экспериментов и целый ряд теоретических моделей [1] указывают на реализацию в большинстве ВТСП-оксидов анизотропного спаривания  $d_{x^2-y^2}$ -типа с нулями функции щели на поверхности Ферми. Предлагались и другие варианты анизотропного спаривания, в частности, так называемое анизотропное  $s$ -спаривание [2, 3], также приводящее к существованию нулей функции щели (но без смены знака параметра порядка) или к минимумам функции щели на поверхности Ферми в тех же направлениях в зоне Бриллюэна, что и в случае  $d$ -спаривания (на что есть также ряд экспериментальных указаний). В работах [4, 5] было отмечено, что контролируемое введение нормальных примесей (разупорядочение) может служить эффективным методом экспериментального различения упомянутых выше типов анизотропного спаривания, приводя к принципиально различному поведению плотности состояний в этих типах сверхпроводников. В предыдущей работе авторов [6] было показано, что измерения эволюции наклона кривой верхнего критического поля  $|dH_{c2}/dT|_{T_c}$  с разупорядочением может, в принципе, использоваться в тех же целях — в сверхпроводниках с  $d$ -спариванием величина этого наклона должна быстро уменьшаться с ростом степени разупорядочения, тогда как в случае анизотропного  $s$ -спаривания наклон поля увеличивается с ростом степени разупорядочения, аналогично изотропному случаю.

\*E-mail: sadovski@ief.intec.ru

В недавней работе [7] была рассмотрена интересная модель с анизотропным примесным рассеянием. Оказалось, что в случае достаточно сильной анизотропии рассеяния « $d$ -типа» происходит заметное подавление эффекта разрушения куперовских пар  $d$ -типа за счет рассеяния на нормальных примесях, описываемого в изотропном случае известной зависимостью Абрикосова–Горькова для случая магнитных примесей в изотропном сверхпроводнике [4–6]. Таким образом, учет анизотропии примесного рассеяния позволяет, по крайней мере в принципе, снять одну из основных проблем физики ВТСП — противоречие между явными указаниями на реализацию в них спаривания  $d$ -типа и их относительной устойчивостью к разупорядочению [8]. Это объяснение необычной устойчивости ВТСП-купратов к разупорядочению в случае, если в них действительно имеет место спаривание  $d$ -типа, не является единственно возможным (см. например, объяснение, предложенное нами в работе [9]), однако простота модели [7] является достаточно привлекательной и стимулирует расчеты других характеристик сверхпроводников с «экзотическими» типами спаривания с учетом возможной роли анизотропии рассеяния на нормальных примесях. Данная работа представляет собой непосредственное обобщение нашей предыдущей работы [6] на этот случай. Как будет показано, учет анизотропии примесного рассеяния приводит (в случае  $d$ -спаривания) к довольно ярким аномалиям в поведении наклона кривой верхнего критического поля в зависимости от степени беспорядка (концентрации примесей). Так же, как и в работе [6], наше рассмотрение будет основываться на микроскопическом выводе разложения Гинзбурга–Ландау в примесной системе.

## 2. РАЗЛОЖЕНИЕ ГИНЗБУРГА–ЛАНДАУ

Рассмотрим двумерную электронную систему с изотропной поверхностью Ферми и сепарабельным потенциалом куперовского спаривания вида [4, 5]

$$V(\mathbf{p}, \mathbf{p}') \equiv V(\phi, \phi') = -V e(\phi) e(\phi'), \quad (1)$$

где  $\phi$  — полярный угол, определяющий направление электронного импульса  $\mathbf{p}$  в хорошо проводящей плоскости, а для  $e(\phi)$  принимается простейшая модельная зависимость:

$$e(\phi) = \begin{cases} \sqrt{2} \cos(2\phi) & (d\text{-спаривание}), \\ \sqrt{2} |\cos(2\phi)| & (\text{анизотропное } s\text{-спаривание}). \end{cases} \quad (2)$$

Константу притяжения  $V$  считаем, как обычно, отличной от нуля в некотором слое шириной  $2\omega_c$  в окрестности уровня Ферми ( $\omega_c$  — характерная частота квантов, обеспечивающих притяжение электронов). В этом случае сверхпроводящая щель (параметр порядка) имеет вид

$$\Delta(\mathbf{p}) \equiv \Delta(\phi) = \Delta e(\phi), \quad (3)$$

причем положения нулей функции щели на поверхности Ферми для  $s$ - и  $d$ -случаев просто совпадают.

Рассмотрим сверхпроводник, содержащий «нормальные» (немагнитные) примеси, хаотично распределенные в пространстве с концентрацией  $\rho$ . Следуя работе [7], предположим, что квадрат амплитуды примесного рассеяния представляется в следующем виде:

$$|V_{imp}(\mathbf{p}, \mathbf{p}')|^2 \equiv |V_{imp}(\phi, \phi')|^2 = |V_0|^2 + |V_1|^2 f(\phi)f(\phi'), \quad (4)$$

где  $V_0$  — амплитуда изотропного точечного рассеяния,  $V_1$  — амплитуда анизотропного рассеяния, а модельная функция  $f(\phi)$  (зависящая от того же полярного угла, определяющего направление электронного импульса) определяет характер анизотропии рассеяния на примеси. Полагаем, что рассеяние является «в основном» изотропным, и вводим следующие ограничения [7]:

$$|V_1|^2 \leq |V_0|^2; \quad \langle f \rangle = 0; \quad \langle f^2 \rangle = 1, \quad (5)$$

где угловые скобки обозначают усреднение по направлениям импульса на поверхности Ферми (углу  $\phi$ ). Соответственно, второе слагаемое в (4) описывает отклонения от изотропного рассеяния.

Нормальная и аномальная функции Грина в таком сверхпроводнике имеют вид [10]

$$G(\omega, \mathbf{p}) = -\frac{i\tilde{\omega} + \xi_{\mathbf{p}}}{\tilde{\omega}^2 + \xi_{\mathbf{p}}^2 + |\tilde{\Delta}(\mathbf{p})|^2}, \quad (6)$$

$$F(\omega, \mathbf{p}) = \frac{\tilde{\Delta}^*(\mathbf{p})}{\tilde{\omega}^2 + \xi_{\mathbf{p}}^2 + |\tilde{\Delta}(\mathbf{p})|^2},$$

где  $\omega = (2n + 1)\pi T$ ,  $\xi$  — энергия электрона, отсчитанная от уровня Ферми,

$$\tilde{\omega}(\mathbf{p}) = \omega + i\rho \int \frac{d\mathbf{p}'}{(2\pi)^2} |V_{imp}(\mathbf{p} - \mathbf{p}')|^2 G(\omega, \mathbf{p}'), \quad (7)$$

$$\tilde{\Delta}(\mathbf{p}) = \Delta(\mathbf{p}) + \rho \int \frac{d\mathbf{p}'}{(2\pi)^2} |V_{imp}(\mathbf{p} - \mathbf{p}')|^2 F(\omega, \mathbf{p}').$$

Для определения критической температуры перехода  $T_c$  в уравнениях (7) можно ограничиться линейным по  $\Delta$  приближением:

$$\tilde{\omega} = \omega + i\rho \frac{N(0)}{2\pi} \int d\xi \int_0^{2\pi} d\phi \{ |V_0|^2 + |V_1|^2 f(\phi)f(\phi') \} \frac{\tilde{\omega}}{\tilde{\omega}^2 + \xi^2}, \quad (8)$$

$$\tilde{\Delta} = \Delta + \rho \frac{N(0)}{2\pi} \int d\xi \int_0^{2\pi} d\phi \{ |V_0|^2 + |V_1|^2 f(\phi)f(\phi') \} \frac{\tilde{\Delta}}{\tilde{\omega}^2 + \xi^2}.$$

Линеаризованное уравнение для функции щели, определяющее температуру перехода  $T_c$ , имеет вид

$$\Delta(\mathbf{p}) = -T_c \sum_{\omega} \int \frac{d\mathbf{p}'}{(2\pi)^2} V(\mathbf{p}, \mathbf{p}') \frac{\tilde{\Delta}(\mathbf{p}')}{\tilde{\omega}^2 + \xi_{\mathbf{p}'}^2}. \quad (9)$$

Из уравнения (9) и уравнений перенормировки (8) стандартными методами получаем уравнение для температуры перехода  $T_c$  в общем виде:

$$\ln\left(\frac{T_c}{T_{c0}}\right) = \left( \langle e \rangle^2 + \langle ef \rangle^2 - 1 \right) \left[ \Psi\left(\frac{1}{2} + \frac{\gamma_0}{2\pi T_c}\right) - \Psi\left(\frac{1}{2}\right) \right] + \langle ef \rangle^2 \left[ \Psi\left(\frac{1}{2}\right) - \Psi\left(\frac{1}{2} + \frac{\gamma_0}{2\pi T_c} \left(1 - \frac{\gamma_1}{\gamma_0}\right)\right) \right], \quad (10)$$

где  $T_{c0}$  — температура перехода в отсутствие примесей,  $\Psi(x)$  — логарифмическая производная  $\Gamma$ -функции,  $\gamma_0 = \pi \rho V_0^2 N(0)$  и  $\gamma_1 = \pi \rho V_1^2 N(0)$  — соответственно изотропная и анизотропная частоты рассеяния,  $\langle ef \rangle^2$  определяет «перекрытие» функций  $e(\mathbf{p})$  и  $f(\mathbf{p})$ .

Для простоты выберем функцию  $f(\mathbf{p})$  в виде, аналогичном (2):

$$f(\mathbf{p}) \equiv f(\phi) = \sqrt{2} \cos(2\phi), \quad (11)$$

что обеспечивает максимальное «перекрытие» для  $d$ -случая. Более общее рассмотрение можно найти в [7]. Теперь уравнения перенормировки (8) можно записать в виде

$$\tilde{\omega} = \omega + i \frac{\gamma_0}{\pi} \int d\xi \frac{\tilde{\omega}}{\tilde{\omega}^2 + \xi^2} + i \frac{\gamma_1}{\pi^2} \cos(2\phi) \int d\xi \int d\phi' \cos(2\phi') \frac{\tilde{\omega}}{\tilde{\omega}^2 + \xi^2}, \quad (12)$$

$$\tilde{\Delta} = \Delta + i \frac{\gamma_0}{\pi} \int d\xi \frac{\tilde{\Delta}}{\tilde{\omega}^2 + \xi^2} + i \frac{\gamma_1}{\pi^2} \cos(2\phi) \int d\xi \int d\phi' \cos(2\phi') \frac{\tilde{\Delta}}{\tilde{\omega}^2 + \xi^2}.$$

Отсюда получаем известное выражение для перенормированной частоты в обоих интересующих нас случаях:

$$\tilde{\omega} = \omega + \gamma_0 \operatorname{sign} \omega. \quad (13)$$

В случае  $d$ -спаривания симметрия функции щели в присутствии примесей не изменяется:

$$\tilde{\Delta} = \Delta \frac{|\tilde{\omega}|}{|\tilde{\omega}| - \gamma_1}. \quad (14)$$

В случае  $s$ -спаривания щель перенормируется на не зависящую от угла  $\phi$  и частоты  $\gamma_1$  константу:

$$\tilde{\Delta} = \Delta + \Delta_0 \frac{2\sqrt{2}\gamma_0}{\pi|\omega|}. \quad (15)$$

В результате уравнение для  $T_c$  в сверхпроводнике со спариванием  $d$ -типа приобретает вид

$$\ln \left( \frac{T_c}{T_{c0}} \right) = \Psi \left( \frac{1}{2} \right) - \Psi \left( \frac{1}{2} + \left( 1 - \frac{\gamma_1}{\gamma_0} \right) \frac{\gamma_0}{2\pi T_c} \right). \quad (16)$$

Для сверхпроводника с анизотропным спариванием  $s$ -типа

$$\ln \left( \frac{T_c}{T_{c0}} \right) = \left( 1 - \frac{8}{\pi^2} \right) \left[ \Psi \left( \frac{1}{2} + \frac{\gamma_0}{2\pi T_c} \right) - \Psi \left( \frac{1}{2} \right) \right]. \quad (17)$$

Заметим, что в уравнении (17) зависимость от анизотропной частоты рассеяния просто выпадает.

Соответствующие зависимости  $T_c(\gamma_0/T_{c0})$  приведены на рис. 1, для случая  $d$ -спаривания при разных значениях отношения  $\gamma_1/\gamma_0$ . В случае сверхпроводника  $s$ -типа температура перехода  $T_c$  слабо подавляется с ростом  $\gamma_0/T_{c0}$ . В случае сверхпроводника  $d$ -типа при малых  $\gamma_1$  подавление  $T_c$  происходит очень быстро, однако с ростом величины  $\gamma_1/\gamma_0$  критическое значение  $\gamma_{0c}/T_{c0}$ , при котором исчезает сверхпроводимость, быстро увеличивается.

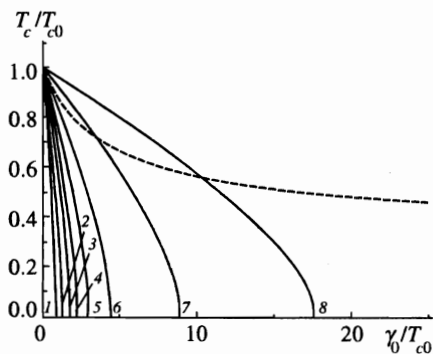


Рис. 1. Зависимость температуры перехода  $T_c$  от параметра беспорядка  $\gamma_0/T_{c0}$ . Штриховая линия — зависимость для случая  $s$ -спаривания, сплошные линии — для случая анизотропного  $d$ -спаривания для ряда значений параметра  $\gamma_1/\gamma_0$ : 1 —  $\gamma_1/\gamma_0 = 0.0$ , 2 — 0.3, 3 — 0.5, 4 — 0.6, 5 — 0.7, 6 — 0.8, 7 — 0.9, 8 — 0.95

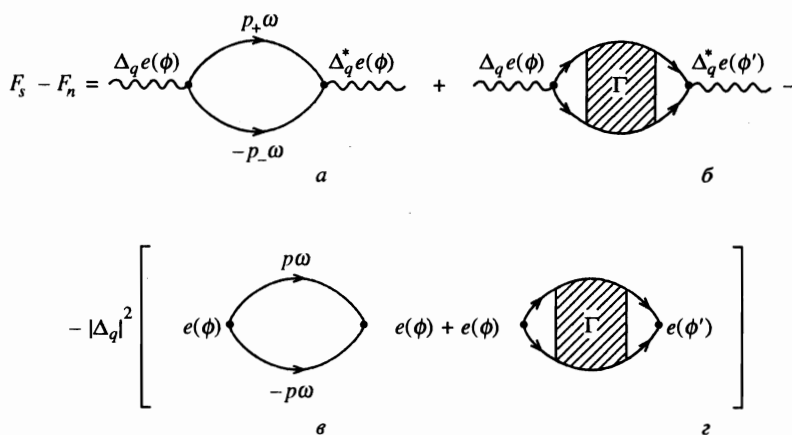


Рис. 2. Графическое представление разложения Гинзбурга–Ландау. Электронные линии «одеты» примесным рассеянием;  $\Gamma$  — вершинная часть примесного рассеяния, вычисляемая в лестничном приближении. Диаграммы  $\nu$  и  $z$  вычисляются при  $q = 0$  и  $T = T_c$ ,  $p_{\pm} = p \pm q/2$

В качестве параметра порядка, по которому ведется разложение свободной энергии, выбираем, как обычно, щелевую функцию. При этом полагаем, что амплитуда  $\Delta(T)$  является медленной функцией пространственных координат. В импульсном пространстве возникает фурье-компонента параметра порядка:

$$\Delta(\phi, q) = \Delta_q(T)e(\phi). \tag{18}$$

Разложение Гинзбурга–Ландау для разности свободных энергий сверхпроводящего и нормального состояний с интересующей нас точностью до членов, квадратичных по  $\Delta$  в области малых  $q$  имеет вид

$$F_s - F_n = A|\Delta_q|^2 + q^2 C|\Delta_q|^2 \tag{19}$$

и определяется графиками петлевого разложения для свободной энергии электронов в поле флуктуаций параметра порядка с малым волновым вектором  $q$ , показанными на рис. 2. Вычитание диаграмм  $\nu$  и  $z$  обеспечивает обращение в нуль коэффициента  $A$

в точке перехода  $T = T_c$ . Подробности вычислений вершинной части  $\Gamma_{pp}$  и коэффициентов Гинзбурга–Ландау для  $d$ -сверхпроводника приведены соответственно в Приложениях А и Б. Следует заметить, что для сверхпроводников  $d$ -типа «диффузионная» перенормировка за счет графиков типа рис. 2б,  $z$  равна нулю с точностью до членов, квадратичных по  $q$ , если не учитывать анизотропии примесного рассеяния. В случае  $s$ -сверхпроводника вычисления проводятся аналогичным образом, зависимость от анизотропной компоненты рассеяния в этом случае отсутствует.

В итоге коэффициенты Гинзбурга–Ландау представляются в виде

$$A = A_0 K_A, \quad C = C_0 K_C, \quad (20)$$

где через  $A_0$  и  $C_0$  обозначены обычные выражения для случая изотропного  $s$ -спаривания [11]:

$$A_0 = N(0) \frac{T - T_c}{T_c}, \quad C_0 = N(0) \frac{7\zeta(3) v_F^2}{48\pi^2 T_c^2}, \quad (21)$$

где  $v_F, N(0)$  — соответственно скорость электронов и плотность состояний на поверхности Ферми, а все особенности рассматриваемых моделей содержатся в безразмерных коэффициентах  $K_A$  и  $K_C$ . В отсутствие примесей в обеих моделях имеем  $K_A^0 = 1$ ,  $K_C^0 = 3/2$ . В системе с примесями получаем

(А)  $d$ -спаривание:

$$K_A = \frac{\gamma_0}{4\pi T_c} \int_{-\omega_c}^{\omega_c} \frac{d\xi}{\xi} \int_{-\infty}^{\infty} d\omega \frac{\omega + \xi}{(\omega^2 + \gamma_0^2) \text{ch}^2\left(\frac{\omega + \xi}{2T_c}\right)} + \frac{\gamma_1(2\gamma_0 + \gamma_1)}{4T_c} \int_{-\infty}^{\infty} d\omega \frac{\omega^2}{(\omega^2 + \gamma_0^2)(\omega^2 + (\gamma_0 - \gamma_1)^2) \text{ch}^2\left(\frac{\omega}{2T_c}\right)}, \quad (22)$$

$$K_C = \frac{3\pi T_c}{7\zeta(3)\gamma_1} \left\{ \frac{2\pi T_c}{\gamma_1} \left[ \Psi\left(\frac{1}{2} + \frac{\gamma_0 - \gamma_1}{2\pi T_c}\right) - \Psi\left(\frac{1}{2} + \frac{\gamma_0}{2\pi T_c}\right) \right] + \Psi'\left(\frac{1}{2} + \frac{\gamma_0 - \gamma_1}{2\pi T_c}\right) \right\}; \quad (23)$$

(Б) анизотропное  $s$ -спаривание:

$$K_A = \frac{\gamma_0}{\pi T_c} \times \left\{ \frac{1}{4} \int_{-\omega_c}^{\omega_c} \frac{d\xi}{\xi} \int_{-\infty}^{\infty} d\omega \frac{\omega + \xi}{(\omega^2 + \gamma_0^2) \text{ch}^2\left(\frac{\omega + \xi}{2T_c}\right)} + \frac{2\gamma_0}{\pi} \int_{-\infty}^{\infty} d\omega \frac{1}{(\omega^2 + \gamma_0^2) \text{ch}^2\left(\frac{\omega}{2T_c}\right)} \right\}, \quad (24)$$

$$K_C = -\frac{3(\pi^2 - 8)}{28\pi^2 \zeta(3)} \Psi''\left(\frac{1}{2} + \frac{\gamma_0}{2\pi T_c}\right) + \frac{24\pi^2}{7\zeta(3)\gamma_0^2} \frac{T_c^2}{(\pi^2 - 8)\gamma^2} \ln\left(\frac{T_c}{T_{c0}}\right) + \frac{6\pi}{7\zeta(3)} \frac{T_c}{\gamma_0}. \quad (25)$$

Результаты численных расчетов безразмерных коэффициентов в зависимости от параметра  $\gamma_0/T_{c0}$  в случае  $d$ -спаривания при разных значениях отношения  $\gamma_1/\gamma_0$  приведены на рис. 3, 4.

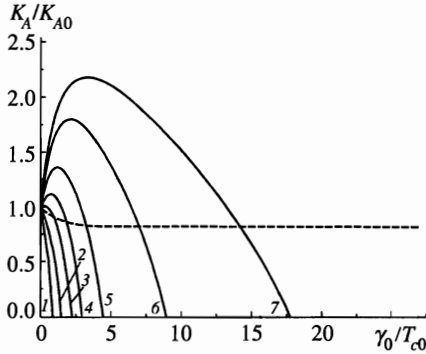


Рис. 3

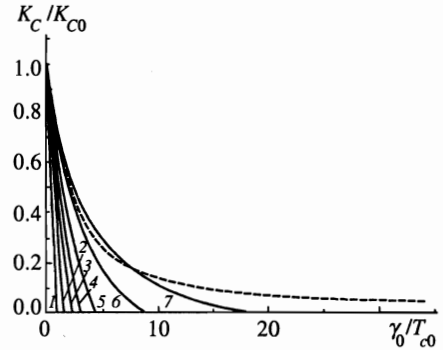


Рис. 4

**Рис. 3.** Зависимость безразмерного коэффициента  $K_A/K_{A0}$  от параметра беспорядка  $\gamma_0/T_{c0}$ . Штриховая линия — зависимость для случая  $s$ -спаривания, сплошные линии — для случая анизотропного  $d$ -спаривания для ряда значений параметра  $\gamma_1/\gamma_0$ : 1 —  $\gamma_1/\gamma_0 = 0.0$ , 2 — 0.4, 3 — 0.6, 4 — 0.7, 5 — 0.8, 6 — 0.9, 7 — 0.95

**Рис. 4.** Зависимость безразмерного коэффициента  $K_C/K_{C0}$  от параметра беспорядка  $\gamma_0/T_{c0}$ . Штриховая линия — зависимость для случая  $s$ -спаривания, сплошные линии — для случая анизотропного  $d$ -спаривания для ряда значений параметра  $\gamma_1/\gamma_0$ : 1 —  $\gamma_1/\gamma_0 = 0.0$ , 2 — 0.4, 3 — 0.6, 4 — 0.7, 5 — 0.8, 6 — 0.9, 7 — 0.95

### 3. ВЕРХНЕЕ КРИТИЧЕСКОЕ ПОЛЕ

Поведение коэффициентов Гинзбурга–Ландау  $A$  и  $C$ , как известно [11], определяет температурную зависимость верхнего критического магнитного поля вблизи  $T_c$ :

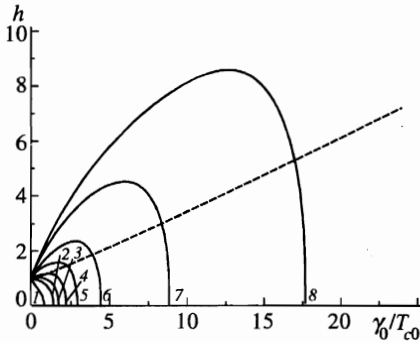
$$H_{c2} = \frac{\phi_0}{2\pi\xi^2(T)} = -\frac{\phi_0}{2\pi} \frac{A}{C}, \tag{26}$$

где  $\phi_0 = c\pi/e$  — квант магнитного потока,  $\xi(T)$  — зависящая от температуры длина когерентности. Отсюда легко найти наклон кривой температурной зависимости  $H_{c2}(T)$  вблизи  $T_c$ , т. е. производную поля по температуре:

$$\left. \frac{dH_{c2}}{dT} \right|_{T_c} = \frac{24\pi\phi_0}{7\zeta(3)v_F^2} T_c \frac{K_A}{K_C}. \tag{27}$$

Для сверхпроводника  $s$ -типа наклон кривой верхнего критического поля не зависит от анизотропного рассеяния. На рис. 5 приведены зависимости безразмерного параметра  $h = |dH_{c2}/dT|_{T_c} / |dH_{c2}/dT|_{T_{c0}}$  от степени разупорядочения  $\gamma_0/T_{c0}$  в случае  $d$ -спаривания при разных значениях отношения  $\gamma_1/\gamma_0$ . В случае анизотропного  $s$ -спаривания наклон кривой верхнего критического поля как всегда [6] увеличивается с ростом разупорядочения и в пределе сильного рассеяния,  $\gamma_0 \gg T_c$ , зависимость  $h$  от  $\gamma_0$  становится линейной и наклон определяется известным соотношением Горькова [12]:

$$\frac{\sigma}{N(0)} \left. \frac{dH_{c2}}{dT} \right|_{T_c} = \frac{8e^2}{\pi^2} \phi_0, \tag{28}$$



**Рис. 5.** Зависимость нормированного наклона кривой верхнего критического поля  $h = |dH_{c2}/dT|_{T_c} / |dH_{c2}/dT|_{T_{c0}}$  от параметра беспорядка  $\gamma_0/T_{c0}$ . Штриховая линия — зависимость для случая  $s$ -спаривания, сплошные линии — для случая анизотропного  $d$ -спаривания для ряда значений параметра  $\gamma_1/\gamma_0$ : 1 —  $\gamma_1/\gamma_0 = 0.0$ , 2 — 0.4, 3 — 0.5, 4 — 0.6, 5 — 0.7, 6 — 0.8, 7 — 0.9, 8 — 0.95

где  $\sigma = N(0)e^2v_F^2/3\gamma_0$  — проводимость электронов в нормальной фазе с характерным для обычных «грязных» сверхпроводников изотропным  $s$ -спариванием. Поэтому сильное разупорядочение подавляет анизотропию щели, и мы переходим к обычному пределу «грязного» сверхпроводника.

В случае  $d$ -спаривания наклон кривой для поля  $H_{c2}$  при малых значениях отношения  $\gamma_1/\gamma_0$  быстро уменьшается до нуля на масштабе  $\gamma_0 \sim T_{c0}$ . На интервале  $0.5 \leq \gamma_1/\gamma_0 \leq 0.6$  поведение наклона меняется принципиальным образом:  $h$  начинает плавно, но нелинейно расти с ростом  $\gamma_0/T_{c0}$ , проходит через максимум, а затем резко уменьшается. Протяженность участка, где наклон растет, быстро увеличивается по мере стремления  $\gamma_1$  к  $\gamma_0$ . Представляется, что столь сильные аномалии зависимости наклона кривой верхнего критического поля от степени разупорядочения могут быть использованы для определения типа спаривания и возможной роли анизотропного рассеяния в необычных сверхпроводниках. К сожалению, в случае ВТСП-систем положение осложняется известной нелинейностью зависимости  $H_{c2}$  от температуры, которая наблюдается в достаточно широкой области температур, начиная с  $T_c$ , а также некоторой неопределенностью в экспериментальных методах определения  $H_{c2}$ .

Работа выполнена при частичной поддержке Российского фонда фундаментальных исследований (проект 96-02-16065), а также в рамках государственной программы «Статистическая физика» (проект IX.1) и государственной программы по ВТСП Министерства науки России (проект 96-051).

## ПРИЛОЖЕНИЕ А

### Вычисление вершинной части $\Gamma_{pp'}$ в лестничном приближении

Уравнение Бете–Солпитера для вершинной части имеет вид

$$\Gamma_{pp'} = U(\mathbf{p}, \mathbf{p}') + \sum_{\mathbf{p}''} U(\mathbf{p}, \mathbf{p}'')G^R(\mathbf{p}'')G^A(\mathbf{p}'')\Gamma_{\mathbf{p}''\mathbf{p}'}, \quad (\text{A.1})$$

где  $U(\mathbf{p}, \mathbf{p}')$  — неприводимая вершинная часть. Рассмотрим  $U(\mathbf{p}, \mathbf{p}')$  в виде («лестничное» приближение)

$$U(\mathbf{p}, \mathbf{p}') = \rho V_0^2 + \rho V_1^2 f(\mathbf{p})f(\mathbf{p}'). \quad (\text{A.2})$$

Тогда уравнение (А.1) можно представить в виде

$$\Gamma_{\mathbf{p}\mathbf{p}'} = \rho V_0^2 + \rho V_1^2 f(\mathbf{p})f(\mathbf{p}') + \rho V_0^2 \Psi(\mathbf{p}') + \rho V_1^2 f(\mathbf{p})\Phi(\mathbf{p}'), \quad (\text{A.3})$$

где

$$\begin{aligned} \Psi(\mathbf{p}') &= \sum_{\mathbf{p}''} G^R(\mathbf{p}'')G^A(\mathbf{p}'')\Gamma_{\mathbf{p}''\mathbf{p}'}, \\ \Phi(\mathbf{p}') &= \sum_{\mathbf{p}''} f(\mathbf{p}'')G^R(\mathbf{p}'')G^A(\mathbf{p}'')\Gamma_{\mathbf{p}''\mathbf{p}'}. \end{aligned} \quad (\text{A.4})$$

Из уравнения (А.3) можно получить самосогласованную систему уравнений для функций  $\Psi(\mathbf{p}')$  и  $\Phi(\mathbf{p}')$ :

$$\begin{cases} \Psi(\mathbf{p}') = \rho V_0^2 I_1 + \rho V_1^2 f(\mathbf{p}')I_2 + \rho V_0^2 I_1 \Psi(\mathbf{p}') + \rho V_1^2 I_2 \Phi(\mathbf{p}'), \\ \Phi(\mathbf{p}') = \rho V_0^2 I_2 + \rho V_1^2 f(\mathbf{p}')I_3 + \rho V_0^2 I_2 \Psi(\mathbf{p}') + \rho V_1^2 I_3 \Phi(\mathbf{p}'), \end{cases} \quad (\text{A.5})$$

где

$$\begin{aligned} I_1 &= \sum_{\mathbf{p}} G^R(\mathbf{p})G^A(\mathbf{p}), \\ I_2 &= \sum_{\mathbf{p}} f(\mathbf{p})G^R(\mathbf{p})G^A(\mathbf{p}), \\ I_3 &= \sum_{\mathbf{p}} f^2(\mathbf{p})G^R(\mathbf{p})G^A(\mathbf{p}). \end{aligned} \quad (\text{A.6})$$

Решая систему (А.5), найдем выражения для функций  $\Psi(\mathbf{p}')$  и  $\Phi(\mathbf{p}')$ , а следовательно, и для вершинной части:

$$\Gamma_{\mathbf{p}\mathbf{p}'} = \frac{\rho V_0^2(1 - \rho V_1^2 I_3 + \rho V_1^2 f(\mathbf{p}')I_2) + \rho V_1^2(f(\mathbf{p})f(\mathbf{p}')(1 - \rho V_0^2 I_1) + \rho V_0^2 f(\mathbf{p})I_2)}{(1 - \rho V_0^2 I_1)(1 - \rho V_1^2 I_3) - \rho V_0^2 \rho V_1^2 I_2^2}. \quad (\text{A.7})$$

## ПРИЛОЖЕНИЕ Б

### Коэффициенты Гинзбурга–Ландау

Диаграмме *a* рис. 2 соответствует выражение

$$\begin{aligned} & -\frac{T}{(2\pi)^2} \Delta_q^2 \sum_{\omega} \int d\mathbf{p} 2 \cos^2(2\phi) G_{\omega}(\mathbf{p}_+) G_{-\omega}(\mathbf{p}_-) = \\ & = -\Delta_q^2 T N(0) \sum_{\omega} \int \frac{d\xi}{\bar{\omega}^2 + \xi^2} + \Delta_q^2 q^2 \frac{N(0)\pi v_F^2 T_c}{8} \sum_{\omega} \frac{1}{|\bar{\omega}|^3}. \end{aligned} \quad (\text{B.1})$$

Диаграмме *b* рис. 2 соответствует выражение

$$-\frac{T}{(2\pi)^2} \Delta_q^2 \sum_{\omega} \int d\mathbf{p} 2 \cos^2(2\phi) G_{\omega}(\mathbf{p}) G_{-\omega}(\mathbf{p}) = -\Delta_q^2 T_c N(0) \sum_{\omega} \int \frac{d\xi}{\bar{\omega}^2 + \xi^2}. \quad (\text{B.2})$$

Диаграмма с «диффузоном» (рис. 2б) дает

$$-T \sum_{\omega} \sum_{pp'} \sqrt{2} \cos(2\phi) G^R(\mathbf{p}_+) G^A(\mathbf{p}_-) \Gamma_{pp'} \sqrt{2} \cos(2\phi') G^R(\mathbf{p}'_+) G^A(\mathbf{p}'_-). \quad (\text{Б.3})$$

С учетом (А.6) и (А.7) это выражение преобразуется к виду

$$-TN(0)\pi\gamma_1 \sum_{\omega} \left[ \frac{1}{|\bar{\omega}|(|\bar{\omega}| - \gamma_1)} - \frac{v_F^2(2|\bar{\omega}| - \gamma_1)q^2}{8|\bar{\omega}|^3(|\bar{\omega}| - \gamma_1)^2} \right]. \quad (\text{Б.4})$$

Заметим, что в случае отсутствия анизотропной компоненты рассеяния для сверхпроводников  $d$ -типа «диффузионная» перенормировка за счет графиков типа изображенных на рис. 2в равна нулю с точностью до членов квадратичных по  $q$ .

Аналогично получается выражение, соответствующее диаграмме з:

$$-TN(0)\pi\gamma_1 \sum_{\omega} \frac{1}{|\bar{\omega}|(|\bar{\omega}| - \gamma_1)}. \quad (\text{Б.5})$$

Выписав выражение для  $F_s - F_n$  и выделив коэффициенты при  $q$  в нулевой степени и  $q^2$ , можно получить выражения для соответствующих коэффициентов Гинзбурга–Ландау.

## Литература

1. D. Pines, *Physica C* **235–240**, 113 (1994).
2. S. Chakravarty, A. Subdø, P. W. Anderson, and S. Strong, *Science* **261**, 337 (1993).
3. A. I. Liechtenstein, I. I. Mazin, and O. K. Andersen, *Phys. Rev. Lett.* **74**, 2303 (1995).
4. L. S. Borkovski and P. J. Hirschfeld, *Phys. Rev. B* **49**, 15404 (1994).
5. R. Fehrenbacher and M. R. Norman, *Phys. Rev. B* **50**, 3495 (1994).
6. А. И. Посаженикова, М. В. Садовский, *Письма ЖЭТФ* **63**, 347 (1996).
7. G. Haran and A. D. S. Nagi, *Phys. Rev.* **54**, 15463 (1996).
8. М. В. Садовский, *СФХТ* **8**, 337 (1995); submitted to *Phys. Rep.* (1997).
9. М. В. Садовский, А. И. Посаженикова, *Письма ЖЭТФ* **65**, 258 (1997).
10. А. А. Абрикосов, Л. П. Горьков, И. Е. Дзялошинский, *Методы квантовой теории поля в статистической физике*, Физматгиз, Москва (1963).
11. П. Де Жен, *Сверхпроводимость металлов и сплавов*, Мир, Москва (1968).
12. Л. П. Горьков, *ЖЭТФ* **37**, 1407 (1959).